

·论著·

不同结构大豆皂甙对人肝癌细胞株 HepG2 细胞的增殖抑制作用

陈兰兰,罗海吉,查龙应[△]

(南方医科大学公共卫生与热带医学学院营养与食品卫生学系,广州 510515)

摘要:目的 研究3种结构形式的大豆皂甙(大豆总皂甙、大豆皂甙A和大豆皂甙B)对人肝癌细胞增殖的抑制作用。方法 采用MTT比色法观察不同浓度(10~400 μg/mL)的3种大豆皂甙对人肝癌细胞株HepG2细胞增殖的影响,采用Annexin V-FITC/PI双染凋亡法检测其对HepG2细胞凋亡的影响。**结果** 大豆总皂甙、大豆皂甙A和大豆皂甙B均能呈时间和浓度依赖性地抑制HepG2细胞增殖和诱导细胞凋亡,其对HepG2细胞增殖的半数抑制浓度(IC_{50})分别为(1.96±0.51)mg/mL、(0.98±0.17)mg/mL和(0.50±0.02)mg/mL。**结论** 大豆皂甙可通过诱导细胞凋亡而发挥抗肝癌作用,且大豆皂甙的抑癌活性高于大豆总皂甙。

关键词:大豆皂甙;结构;肝癌;HepG2细胞;增殖抑制

中图分类号:R735.7;R73-361

文献标识码:A

文章编号:1671-8348(2010)11-1344-03

Inhibitory effects of soyasaponins with different chemical structures on human hepatoma HepG2 cell proliferation

CHEN Lan-lan, LUO Hai-ji, ZHA Long-ying[△]

(Department of Nutrition and Food Hygiene, School of Public Health and Tropical Medicine, Southern Medical University, Guangzhou 510515, China)

Abstract: Objective To investigate the inhibitory effects of soyasaponins with different chemical structures (total soyasaponin, soyasapogenol A and B) on HepG2 cell proliferation. **Methods** MTT assay was used to examine the proliferation of HepG2 cell. Annexin V-FITC/PI double staining technique was used for analysis of cell apoptosis. **Results** Total soyasaponin, soyasapogenol A and soyasapogenol B inhibited the proliferation and induced apoptosis of HepG2 cells in a time- and concentration-dependent manner. Further analysis showed a 72 h IC_{50} values of (1.96±0.51)mg/mL for total soyasaponin, (0.98±0.17)mg/mL for soyasapogenol A, and (0.50±0.02)mg/mL for soyasapogenol B. **Conclusion** Soyasaponins can produce an anti-hepatoma activity via induction of apoptosis. Moreover, soyasapogenols exhibit higher anti-hepatoma activities compared to total soyasaponins.

Key words: soyasaponin; structure; hepatoma; HepG2 cell; proliferative inhibition

大豆除了含有优质蛋白质之外,还含有丰富的生物活性物质^[1],其中大豆皂甙(soyasaponin, SS)是由萜类同系物与糖缩合形成的一类化合物(五环三萜类糖甙),主要分为A、B、E和DDMP类皂甙^[2]。SS具有抗癌、抗突变以及抗氧化等作用,其中,SS的抗癌作用尤为引人关注。有研究表明,SS对肝癌、结肠癌、乳腺癌、皮肤癌以及前列腺癌等都具有抑制作用^[3-6]。近来研究表明,SS的抑癌效果因其结构而异^[5,7]。SS经肠道细菌糖苷酶水解后产生相应的代谢产物大豆皂甙(soyasapogenol, SG),主要包括SG-A、SG-B和SG-E,SG的生理活性与SS不同^[5]。本文主要研究大豆总皂甙(total soyasaponin, TS)、SG-A和SG-B对人肝癌细胞株HepG2细胞的增殖抑制作用,探讨其抑癌效果的差异。

1 材料与方法

1.1 材料 TS购自华北制药股份有限公司,纯度为80%;人肝癌细胞株HepG2细胞株购自中科院上海生化细胞所;噻唑蓝(MTT)、二甲基亚砜(DMSO)和胰蛋白酶购自美国Sigma公司;DMEM高糖培养基、胎牛血清、磷酸盐缓冲液(PBS)购自美国Gibco公司;EPICU Elite流式细胞仪购自美国Beckman-coulter公司;Annexin V-FITC/PI双染凋亡试剂盒购自北京创根胜泰科技有限公司;ELX-808酶标分析仪购自美国Bio-Tek公司。

1.2 研究方法**1.2.1 SG制备** 参考Gurfinkel等^[8]方法,用甲醇溶解TS

后,加入浓硫酸进行热水解,经Sep-Pak C₁₈固相萃取柱进行分离制备SG-A和SG-B,纯度分别为57.3%和62.6%。

1.2.2 细胞增殖抑制实验 HepG2细胞用含10%胎牛血清的DMEM高糖培养基于25 cm²培养瓶中进行培养和传代,将处于对数生长期的细胞按 1×10^4 /mL密度接种于96孔细胞培养板,每孔200 μL,在37 °C、5%CO₂孵箱中培养24 h,细胞贴壁后,加入不同浓度(10~400 μg/mL)的SS(SG-A、SG-B和TS),同时设不加药物的阴性对照和不接种细胞的空白对照。继续培养24、48、72 h,每个浓度每个时间点设置6个重复孔。在每个时间点结束时于每孔培养板中加入20 μL MTT,孵育4 h后小心吸去上清液,每孔加入200 μL DMSO后用酶标仪测定490 nm波长处吸光值(A),实验重复3次。细胞增殖抑制率按以下公式计算:抑制率=(对照组A值-实验组A值)/对照组A值×100%。

1.2.3 细胞凋亡检测 收集阴性对照组和400 μg/mL SG-A、SG-B和TS分别作用于24、48、72 h后的细胞,按Annexin V-FITC/PI双染凋亡试剂盒说明用流式细胞仪(美国EPICU Elite Beckman-coulter)进行细胞凋亡检测。

1.3 统计学方法 用SPSS11.5统计软件对数据进行单因素方差分析,结果以 $\bar{x}\pm s$ 表示,以P<0.05为差异有统计学意义,用SPSS11.5的Probit程序计算细胞增殖半数抑制浓度(IC_{50})。

2 结果**2.1 SS对HepG2细胞增殖的影响** 不同结构SS对HepG2[△] 通讯作者,电话:020-62789127。

表 1 不同结构 SS 对 HepG2 细胞的增殖抑制率($\bar{x} \pm s, \%$)

浓度 ($\mu\text{g/mL}$)	24 h			48 h			72 h		
	SG-A	SG-B	TS	SG-A	SG-B	TS	SG-A	SG-B	TS
10	5.3 \pm 0.6 ^a	5.4 \pm 0.3 ^a	4.0 \pm 0.2 ^b	8.1 \pm 0.9	7.2 \pm 0.4	6.5 \pm 0.4	9.5 \pm 0.4 ^a	8.3 \pm 0.5 ^b	7.4 \pm 0.1 ^c
20	7.5 \pm 0.6 ^a	8.8 \pm 0.6 ^b	6.7 \pm 0.1 ^a	10.5 \pm 0.7	11.2 \pm 1.1	10.1 \pm 0.4	12.3 \pm 0.3 ^a	11.7 \pm 0.6 ^a	9.5 \pm 0.4 ^b
40	8.2 \pm 0.7 ^a	10.3 \pm 0.5 ^b	7.6 \pm 0.4 ^a	12.0 \pm 0.5 ^a	14.4 \pm 0.5 ^b	11.2 \pm 0.9 ^a	14.0 \pm 0.7 ^a	17.0 \pm 0.5 ^b	13.2 \pm 0.6 ^a
80	10.7 \pm 0.1 ^a	12.5 \pm 0.7 ^b	8.8 \pm 0.2 ^c	14.9 \pm 0.3 ^a	17.3 \pm 0.4 ^b	14.1 \pm 0.8 ^a	17.2 \pm 0.8 ^a	18.6 \pm 0.6 ^b	15.1 \pm 0.6 ^c
100	11.5 \pm 0.6 ^a	15.0 \pm 0.3 ^b	11.1 \pm 0.7 ^a	16.4 \pm 0.6 ^a	20.0 \pm 0.6 ^b	15.9 \pm 0.2 ^a	22.9 \pm 0.7 ^a	26.0 \pm 0.4 ^b	19.2 \pm 0.6 ^c
160	13.9 \pm 0.9 ^a	18.6 \pm 0.6 ^b	12.6 \pm 0.6 ^a	19.6 \pm 0.6 ^a	24.4 \pm 0.3 ^b	17.4 \pm 0.4 ^c	27.4 \pm 1.0 ^a	31.8 \pm 2.0 ^b	22.7 \pm 0.9 ^c
200	19.1 \pm 0.5 ^a	21.7 \pm 1.4 ^a	16.2 \pm 0.2 ^b	24.2 \pm 0.4 ^a	27.7 \pm 0.9 ^b	19.7 \pm 0.4 ^c	34.3 \pm 1.4 ^a	39.4 \pm 1.1 ^b	27.2 \pm 0.6 ^c
400	22.9 \pm 2.0 ^a	24.5 \pm 0.6 ^a	18.5 \pm 1.5 ^b	30.2 \pm 1.5 ^a	30.7 \pm 0.6 ^a	21.4 \pm 0.3 ^b	37.4 \pm 1.9 ^a	48.2 \pm 1.4 ^b	31.3 \pm 1.7 ^c

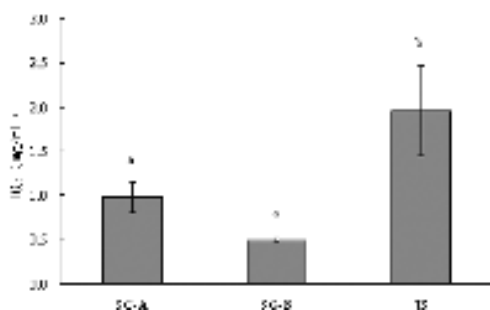
同一时间同一浓度时,不同上标字母(a,b,c)表示差异有统计学意义。

表 2 不同结构 SS 致 HepG2 细胞凋亡率变化($\bar{x} \pm s, \%$)

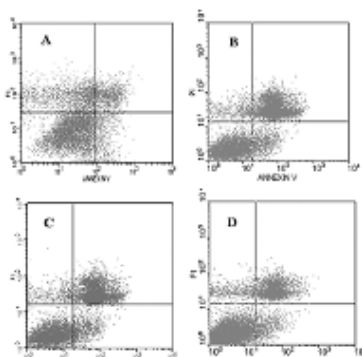
组别	Annexin V ⁺ /PI ⁻			Annexin V ⁺ /PI ⁺			合计		
	24 h	48 h	72 h	24 h	48 h	72 h	24 h	48 h	72 h
对照组	7.4 \pm 2.1 ^d	7.8 \pm 0.9 ^c	5.7 \pm 2.0	1.1 \pm 0.4	9.4 \pm 2.6 ^b	14.9 \pm 2.1 ^c	8.5 \pm 1.8 ^d	17.1 \pm 2.4 ^d	20.5 \pm 0.4 ^c
SG-A 组	22.0 \pm 3.0 ^b	22.2 \pm 1.4 ^a	7.2 \pm 2.4	1.6 \pm 0.7	15.9 \pm 2.0 ^b	26.1 \pm 4.2 ^b	23.6 \pm 3.4 ^b	38.1 \pm 1.7 ^b	33.2 \pm 2.2 ^b
SG-B 组	30.6 \pm 2.2 ^a	17.4 \pm 0.8 ^b	10.5 \pm 2.9	2.0 \pm 0.5	32.4 \pm 3.3 ^a	51.6 \pm 3.3 ^a	32.6 \pm 2.7 ^a	49.7 \pm 2.8 ^a	62.1 \pm 5.4 ^a
TS 组	14.0 \pm 2.5 ^c	21.1 \pm 1.6 ^a	6.4 \pm 2.6	1.5 \pm 0.4	12.7 \pm 0.4 ^b	16.3 \pm 1.4 ^c	15.4 \pm 2.7 ^c	33.8 \pm 1.9 ^c	22.8 \pm 1.5 ^c

同一时间同一浓度时,不同上标字母(a,b,c)表示差异有统计学意义。

细胞增殖抑制率呈现时间和浓度依赖性,随时间的延长和浓度的增加,抑制细胞增殖的效果更明显。SG-B 和 SG-A 对细胞增殖的抑制效果较 TS 明显,见表 1。



不同上标字母(a,b,c)表示差异有统计学意义。

图 1 不同结构 SS 对 HepG2 细胞增殖的 IC₅₀

A:对照组;B:SG-A 组;C:SG-B 组;D:TS 组。

图 2 流式细胞术检测不同结构 SS(400 $\mu\text{g/mL}$)作用 72 h 后致 HepG2 细胞凋亡结果

2.2 细胞增殖 IC₅₀ 不同结构 SS 作用 HepG2 细胞 72 h 后的 IC₅₀ 有明显差异(图 1),SG-A 和 SG-B 的 IC₅₀ 低于 TS, 差异有统计学意义($P < 0.05$)。

2.3 SS 对 HepG2 细胞凋亡的影响 SS 作用 HepG2 细胞后能检测到明显的细胞凋亡现象(表 2)。处理 24 h 后,SG-A、SG-B 和 TS 诱导的早期凋亡均显著高于对照组,差异有统计学意义($P < 0.05$),3 种不同结构 SS 诱导早期凋亡的作用呈现差异(SG-B>SG-A>TS)。随着作用时间的延长,以晚期凋亡(或坏死)为主(图 2)。

3 讨论

SS 的抗癌活性已得到肿瘤细胞体外培养实验^[4-5]、动物实验^[9]以及人群流行病学实验^[9-10]的证实,但这些实验多以 TS 提取物开展研究,关于 SS 结构与抗癌活性关系的研究直到近几年才有报道^[2,5,7],其主要原因在于受不同结构 SS 分离纯化技术的制约^[1]。本实验研究了 TS 以及两种形式的 SG-A 和 SG-B 对 HepG2 细胞的增殖抑制作用,结果发现,3 种形式的 SS 均能有效抑制 HepG2 细胞的增殖,呈浓度和时间依赖关系,进一步分析 3 种 SS 对 HepG2 细胞增殖的 IC₅₀ 发现,SG-A [$(0.98 \pm 0.17)\text{ mg/mL}$] 和 SG-B [$(0.50 \pm 0.02)\text{ mg/mL}$] 的 IC₅₀ 值显著低于 TS 的 IC₅₀ 值 [$(1.96 \pm 0.51)\text{ mg/mL}$],差异有统计学意义($P < 0.05$),表明 SG-A 和 SG-B 抑制 HepG2 细胞的活性要强于 TS。Zhang 和 Popovich^[5] 报道,TS、SG-A 和 SG-B 作用 HepG2 细胞 72 h 后的 IC₅₀ 值分别为 $(0.594 \pm 0.021)\text{ mg/mL}$ 、 $(0.052 \pm 0.011)\text{ mg/mL}$ 和 $(0.128 \pm 0.005)\text{ mg/mL}$ 。研究表明 SG-A 和 SG-B 抑制 HepG2 细胞增殖的活性高于 TS,但不同的是 SG-A 的活性高于 SG-B,这可能与 SG 的提取方法以及其纯度不一致有关^[11]。全吉淑等^[12]研究了 TS 和 SG(含 28.2% 的 SG-A 和 41.9% 的 SG-B)对人结肠癌 HT-29 细胞增殖的抑制作用。结果同样发现,SG 的抑癌活性高于 TS。

细胞凋亡与肿瘤的发生、发展及退化有密切的关系^[13-14],也是许多植物、化学物质抑癌活性的机制之一^[15-16]。有研究表明,SS能够诱导不同类型的肿瘤细胞凋亡^[3-5]。本实验用Annexin V-FITC/PI双染凋亡法检测发现,TS、SG-A和SG-B均能诱导HepG2细胞发生凋亡,作用24 h后主要发生早期凋亡(Annexin V⁺/PI⁻),且SG-B诱导细胞早期凋亡的活性显著高于SG-A,差异有统计学意义($P<0.05$),后者则又显著高于TS,差异有统计学意义($P<0.05$)。随着作用时间的延长,细胞主要以晚期凋亡或坏死(Annexin V⁺/PI⁺)为主。

本实验结果表明,SG(SG-A和SG-B)抑制人肝癌细胞株HepG2细胞增殖的活性高于TS,诱导细胞凋亡可能是其机制之一,且SG诱导细胞凋亡的活性同样高于TS。同时,SG-A和SG-B诱导细胞凋亡的活性也有差异,其诱导细胞凋亡的信号通路调控机制有待于进一步研究。此外,SG为SS的肠道分解产物,而肠道微生物菌群是否会影响SS的分解代谢,并进而影响SS抗癌活性的效果尚需进一步研究。

参考文献:

- [1] Guclu-Ustunda O, Mazza G. Saponins: properties, applications and processing[J]. Crit Rev Food Sci Nutr, 2007, 47(3):231.
- [2] Hu J, Reddy MB, Hendrich S, et al. Soyasaponin I and Sapogenol B have limited absorption by Caco-2 intestinal cells and limited bioavailability in women[J]. J Nutr, 2004, 134:1867.
- [3] Fournier DB, Erdman JW, Gordon GB. Soy, its components and cancer prevention:a review of the in vitro, animal, and human data [J]. Cancer Epidemiol Biomark Prev, 1998, 7:1055.
- [4] Xiao JX, Huang GQ, Zhang SH. Soyasaponins inhibit the proliferation of Hela cells by inducing apoptosis[J]. Exp Toxicol Pathol, 2007, 59:35.
- [5] Zhang W, Popovich DG. Effect of soyasapogenol A and soyasapogenol B concentrated extracts on Hep-G2 cell proliferation and apoptosis[J]. J Agric Food Chem, 2008, 56:2603.
- [6] Ellington AA, Berhow MA, Singletary KW. Induction of macroautophagy in human colon cancer cells by soybean B-group triterpenoid saponins[J]. Carcinogenesis, 2005, 26(1):159.
- [7] Gurfinkel DM, Rao AV. Soyasaponins: the relationship between chemical structure and colon anticarcinogenic activity[J]. Nutr Cancer, 2003, 47(1):24.
- [8] Gurfinkel DM, Reynolds WF, Rao AV. The isolation of soyasaponins by fractional precipitation, solid phase extraction and low pressure liquid chromatography[J]. Int J Food Sci Nutr, 2005, 56(7):501.
- [9] Bennink MR. Dietary soy reduces colon carcinogenesis in human and rats, soy and colon cancer[J]. Adv Exp Med Biol, 2001, 492:11.
- [10] Rao AV, Sung MK. Saponins as anticarcinogens[J]. J Nutr, 1995, 125:717.
- [11] Zhang W, Yeo MC, Tang FY, et al. Bioactive responses of Hep-G2 cells to soyasaponin extracts differs with respect to extraction conditions[J]. 2009, 47:2202.
- [12] 全吉淑,徐俊萍,许惠仙,等.大豆皂甙及甙元抗结肠癌作用的实验研究[J].食品科技,2009,34(2):176.
- [13] 李青国,陈龙舟,周士福.新辅助化疗对乳腺癌细胞凋亡和增殖的影响[J].重庆医学,2009,38(1):58.
- [14] 姜果,张建华,姜荣健,等.膀胱移行细胞癌 survivin 表达临床特征及与肿瘤细胞增殖和凋亡的关系[J].重庆医学,2006,35(16):1468.
- [15] Melet A, Song K, Bucur O, et al. Apoptotic pathways in tumor progression and therapy[J]. Adv Exp Med Biol, 2008, 615:47.
- [16] 刘晓春,蓝娇,潘莉莉,等.芸豆甙诱导鼻咽癌CNE2细胞凋亡及其对细胞内钙含量的影响[J].广西医学,2009,31(5):616.

(收稿日期:2009-11-02 修回日期:2010-03-23)

(上接第1343页)

参考文献:

- [1] 姚雯,孙自敏.脐带血干/祖细胞的体外扩增实验研究进展[J].国际儿科学杂志,2007,34(3):202.
- [2] 刘斌,廖灿,魏佳雪,等.3种不同方法分离脐血造血细胞的比较[J].中华血液学杂志,1999,20(5):271.
- [3] Robinson SN, Ng J, Niu T, et al. Superior ex-vivo cord blood expansion following co-culture with bone marrow-derived mesenchymal stem cell[J]. Bone Marrow Trans-

plant, 2006, 37(4):359.

- [4] 岑洪,林茂芳.脐带血造血前体细胞在间质干细胞微环境中的增殖和分化特性研究[J].中国病理生理杂志,2007, 23(5):995.
- [5] 李玉艳,梁志清,李彩霞,等.人脐带血CD34⁺细胞的提取及慢病毒载体转染的初步研究[J].重庆医学,2008, 37(14):1570.

(收稿日期:2009-08-13 修回日期:2010-01-13)